

## یادداشت فنی

## بررسی الگوهای گسیختگی ماسه سنگ‌های، لامیناسیون‌دار سازند قرمز بالای در آزمایش برزیلی و بار نقطه‌ای

غلامرضا خانلری<sup>\*</sup>، یاسین عبدی لر<sup>†</sup>

دریافت مقاله: ۱۳۹۲/۰۹/۲۰ پذیرش مقاله: ۱۳۹۲/۰۷/۲۵

### چکیده

به طور کلی، ناهمسانی یکی از فاکتورهای تأثیرگذار بر روی رفتار سنگ‌ها است. خواص مهندسی چنین سنگ‌هایی با تغییر جهت ناهمسانی، دچار تغییر می‌شود. ناهمسانگردی سنگ عمدتاً ناشی از حضور فولیاسیون، کلیوژ، شیستوزیت، درزه‌ها، ترک‌های می‌کروستکریبی یا ماکروستکریبی و همچنین سطوح لایه‌بندی است (Al-Harti, 1998). اثر جهت یابی لایه‌ها بر روی مقاومت کششی سنگ‌ها در آزمایش برزیلی توسط افراد مختلفی برخوردار هستند (Ramamurthy, 1993). مک‌لامور و گری (McLamore and Gray, 1967) بر روی گنیس و شیست، تولالی و ورورت (Tavalali and Vervoort, 2010) بر روی ماسه سنگ، چن و همکاران (Chen et al., 1998) بر روی ماسه سنگ و دبکر و ورورت (Debecker and Vervoort, 2009) بر روی اسلیت اشاره کرد. با این وجود، رفتار ایزوتropی سنگ‌های ناهمسانگرد بخصوص ماسه‌سنگ‌ها در آزمایش بار نقطه‌ای کمتر مورد مطالعه قرار گرفته است. بنابراین در این مطالعه سعی شده است که الگوهای گسیختگی ماسه‌سنگ‌های لامینه‌دار سازند قرمز بالای در جنوب غرب استان قم، در آزمایش برزیلی و بار نقطه‌ای مورد بررسی قرار گیرد.

**کلید واژه‌ها:** ماسه سنگ‌های لامینه‌دار، آزمایش برزیلی، شاخص بار نقطه‌ای، لامیناسیون، سازند قرمز بالای

۱. عضو هیأت علمی گروه زمین‌شناسی دانشگاه برعلي سينا Khanlari\_reza@yahoo.com

۲. دانشجوی دکتری زمین‌شناسی مهندسی دانشگاه برعلي سينا

\* مسئول مکاتبات

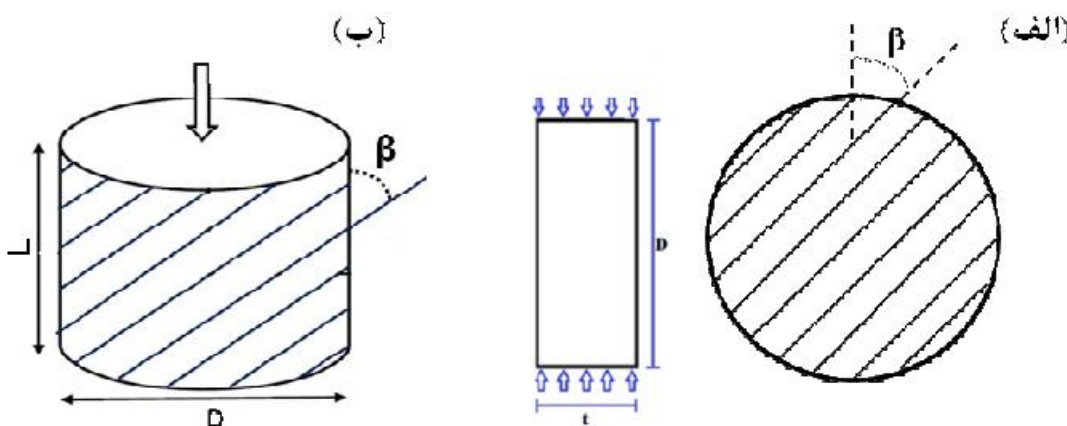
رفتار آنیزوتروپی سنگ‌های ناهمسانگرد بخصرص ماسه‌سنگ‌ها در آزمایش بار نقطه‌ای کمتر مورد مطالعه قرار گرفته است. بنابراین در این مطالعه سعی شده است که الگوهای گسیختگی ماسه‌سنگ‌های لامینه‌دار سازند قرمز بالایی در جنوب غرب استان قم، در آزمایش برزیلی و بار نقطه‌ای مورد بررسی قرار گیرد.

## ۲. مراود و روش‌ها

به منظور انجام این پژوهش، تعداد ۶ بلوک انتخاب و به آزمایشگاه انتقال داده شده اند. از ویژگی‌های بارز ماسه سنگ‌های مورد نظر می‌تران به لامینه‌های نسبتاً زیاد آنها که نازک و مرازی هستند، اشاره نمود. در آزمایشگاه با استفاده از یک دستگاه مغزه گیر دورانی با قطر سرمه ۵۴ می‌لیمتر، از سنگ‌های مورد نظر در زوایای ناهمسانگردی صفر، ۴۵، ۳۰، ۶۰ و ۹۰ درجه، مغزه گیری به عمل آمده است. شکل ۱ وضعیت نمونه‌های مورد استفاده در آزمایش برزیلی و بار نقطه‌ای و همچنین تعریف زاویه شیب، لامیناسیون ( $\beta$ ) مورد استفاده در هر دو آزمایش را نشان می‌دهد.

## ۱. مقدمه

به طور کلی، ناهمسانی یکی از فاکتورهای تأثیرگذار بر روی رفتار سنگ‌ها است. خواص مهندسی چنین سنگ‌هایی با تغییر جهت ناهمسانی، دچار تغییر می‌شود. ناهمسانگردی سنگ عمده‌تاً ناشی از حضور فولیاسیون، کلیراژ، شیستزیت، درزه‌ها، ترک‌های می‌کروسکرپی یا ماکروسکرپی و همچنین سطح لایبدنی است (Al-Harti, 1998). در طبیعت، سنگ‌های رسوبی و دگرگونی نسبت به سنگ‌های آذرین از ناهمسانگردی بیشتری برخوردار هستند (Ramamurthy, 1993). اثر جهت یابی لایدها بر روی مقاومت کششی برزیلی سنگ‌ها در آزمایش برزیلی توسط افراد مختلفی مورد بررسی قرار گرفته است که از جمله می‌تران به مطالعات صورت گرفته توسط هابس (Hobbs, 1964) بر روی سیلتستون، مادستون و ماسه سنگ، مک‌لامور و گری (McLamore and Gray, 1967) بر روی شیل، بارلا (Barla, 1974) بر روی گیس و شیست، ترالی و ورورت (Tavalali and Vervoort, 2010) بر روی ماسه سنگ، چن و همکاران (Debecker and Vervoort, 1998) بر روی ماسه سنگ و دبکر و ورورت (Vervoort, 2009) بر روی اسلیت اشاره کرد. با این وجود،



شکل ۱. موقعیت نمونه‌های مورد استفاده در (الف) آزمایش برزیلی و (ب) بار نقطه‌ای.  
(زاویه شیب، لامیناسیون ( $\beta$ ) بین صفر و ۹۰ درجه تغییر می‌کند).

معیاری برای تقسیم‌بندی این بلوک‌ها مورد استفاده قرار گرفته است. بر این اساس، ماسه سنگ‌های مورد نظر به سه دسته تیپ ۱(T1)، تیپ ۲(T2) و تیپ ۳(T3) تقسیم‌بندی می‌شوند.

بررسی چشمی نمونه‌ها حاکی از آن است که ضخامت لامینه‌های موجود در بلوک‌های مختلف یکسان نمی‌باشد. بنابراین تعداد مرزهای لامیناسیون در یک سانتی‌متر به عنوان

### ۱-۳. ویژگی‌های فیزیکی

نتایج آزمایش‌های دانسیته خشک، تخلخل و سرعت سیر موج در جدول ۱ ارائه شده است. همان‌طور که می‌تران در جدول ۱ ملاحظه کرد، دانسیته خشک نمونه‌های ماسه سنگ مورد مطالعه از ۲/۲۷ گرم بر سانتیمتر مکعب برای تیپ ۱ تا ۲/۱۶ گرم بر سانتیمتر مکعب برای تیپ ۲ تغییر می‌کند. در مجموع، ماسه سنگ‌های تیپ ۲ بیشترین دانسیته خشک را دارا می‌باشند، در حالی که کمترین مقدار دانسیته خشک برای ماسه سنگ‌های تیپ ۱ حاصل شده است. همچنین تغییر در مقادیر تخلخل مؤثر بین ۳/۰۹ درصد برای ماسه سنگ‌های تیپ ۳ تا ۸/۳ درصد برای تیپ ۱ مشاهده شده است. به منظور بررسی تغییرات سرعت سیر موج در نمونه‌های مورد نظر، از هر تیپ سنگ، حداقل ۵ نمونه آماده شده است. سرعت سیر موج هم بمرازات، لامیناسیون و هم عمد بر، لامیناسیون اندازه گیری شده است. همواره حداقل و حداکثر سرعت سیر موج عمد بر، لامیناسیون و بمرازات آنها بدست می‌آید (جدول ۱).

حداکثر تعداد مرز لامینه در یک سانتیمتر برای تیپ ۱ بدست آمده (۵/۰۴)، در حالیکه حداقل آن برای تیپ ۲ (۲/۱) حاصل شده است. در نتیجه، به نظر می‌رسد که تأثیر، لامیناسیون بر روی رفتار گسیختگی نمونه‌های تیپ ۱، شدیدتر باشد. نتایج پتروگرافی نشان می‌دهد که ماسه سنگ‌های، لامیناسیون دار مورد مطالعه، ریزدانه تا بسیار ریزدانه می‌باشند. ترکیب کانی شناسی این گروه از ماسه سنگ‌ها شامل ۵۵ درصد خرده سنگ (۲۵٪ خرده‌های آهکی، ۱۳٪ خرده‌های آتش‌فرشانی و ۳۰٪ خرده‌های دگرگونی و رسوبی ریزدانه) ۲۰ فلدسپات (پلازبرکلاز)، ۱۳ درصد کوارتز و ۲ درصد می‌کا و کانی‌های رسی می‌باشد. سیمان موجود در سنگ از نوع سیمان کلسیتی است که حدود ۱۰ درصد از فضاهای خالی موجود در سنگ را به خود اختصاص داده است. همچنین کانی‌های اوپک (عمدتاً شامل هماتیت، آهن و اکسید آهن) نیز در این گروه از ماسه سنگ‌ها مشاهده شده است. بر اساس طبقه‌بندی ارائه شده توسط فولک (۱۹۷۴)، این گروه از ماسه سنگ‌ها فلدسپاتیک کالک لیت آرنایت هستند.

### ۳. نتایج و بحث

جدول ۱. میانگین نتایج ویژگی‌های فیزیکی ماسه سنگ‌های مورد مطالعه

نمود بر، لامیناسیون	سرعت سیر (km/sec)	خلخل (٪)	دانسیته خشک (gr/cm <sup>3</sup> )	نمود بر، لامیناسیون
۲/۲۹ - ۳/۷	۴/۰۳ - ۸/۳	۲/۲۷ - ۳/۰۸	تیپ ۱	۱/۶۵ - ۲/۶۱
۳/۲۹ - ۳/۵۵	۴/۰۹ - ۶/۰۷	۲/۳۵ - ۳/۱۶	تیپ ۲	۳/۰۹ - ۳/۱۲
۳/۲۸ - ۳/۸۷	۳/۰۹ - ۵/۰۹	۲/۳ - ۲/۶۶	تیپ ۳	۳/۰۵ - ۳/۱۳

گروه اصلی طبقه‌بندی شده‌اند که در جدول ۲ خلاصه شده‌اند. گروه اول، گسیختگی‌هایی هستند که به بمرازات، لامیناسیون اتفاق می‌افتد (PL). این نوع گسیختگی عمدتاً برای زوایای  $\beta$  کمتر از ۳۰ درجه مشاهده شده است (شکل ۲-الف، ب و پ). گروه دوم، گسیختگی‌هایی می‌باشند که سطوح، لامیناسیون را قطع می‌کنند و به عبارتی مستقل از، لامیناسیون هستند (AL) (شکل ۲-ت، ث، ج و د). این گروه از گسیختگی‌ها عمدتاً در ماسه سنگ‌های تیپ ۱ و ۳ در زوایای ۴۵، ۳۰، ۶۰ و ۷۵ درجه اتفاق می‌افتد، در حالی که

۲-۳. بررسی الگوهای گسیختگی در آزمایش برزیلی به منظور انجام آزمایش برزیلی، نمونه‌های دیسکی شکل با نسبت ضخامت به قطر ۰/۰ و مطابق با استاندارد ISRM (۱۹۷۸) از ماسه سنگ‌های لامینه‌دار، تهیه شده است. در کل برای ماسه سنگ‌های تیپ ۱، ۸ زاویه شبیه مختلف شامل: صفر، ۱۵، ۳۰، ۴۵، ۶۰، ۶۵، ۷۵ و ۹۰ درجه و همچنین برای ماسه سنگ‌های تیپ ۲ و ۳، ۷ زاویه شامل صفر، ۱۵، ۳۰، ۴۵، ۶۰، ۷۵ و ۹۰ درجه در نظر گرفته شده است. الگوهای گسیختگی مشاهده شده در آزمایش برزیلی به طور کلی به سه

۲-۳). همان طور که در شکل ۲ نشان داده است، زاویه انتقال نوع گسیختگی غالب، یعنی جائی که نوع گسیختگی از حالت موازی با، لامیناسیون (PL) به گسیختگی در عرض، لامیناسیون (AL) تغییر می‌کند، برای ماسه‌سنگ‌های تیپ ۱ بین ۲۵ درجه و ۳۰ درجه می‌باشد. همچنین چن و همکاران (۱۹۹۸) برای ماسه‌سنگ‌های جنوب چین، زاویه انتقال نوع گسیختگی غالب را بین ۱۵ و ۳۰ درجه گزارش نموده‌اند. علاوه بر این تولالی و ورورت (۲۰۱۰) این زاویه انتقال را برای ماسه‌سنگ‌های جنوب نروژ بین ۳۰ و ۴۵ درجه مشاهده نموده‌اند. الگوهای گسیختگی مشاهده شده برای ماسه‌سنگ‌های تیپ ۲ نیز در شکل ۳ نشان داده شده است. ملاحظه می‌شود که برای زوایای ناهمسانگردی ( $\beta$ ) صفر و ۱۵ درجه، الگوی گسیختگی موازی با، لامیناسیون غالب است. در حالی که برای زوایای ۴۵، ۶۰، ۷۵ و ۹۰ درجه، الگوی گسیختگی در راستای اعمال بار است و، لامیناسیون را قطع کرده است. زاویه انتقال نوع گسیختگی برای این دسته از ماسه‌سنگ‌ها بین زاویه ۱۵ و ۳۰ درجه مشاهده شده است.

برای ماسه‌سنگ‌های تیپ ۲ در زوایای ۳۰، ۴۵، ۶۰ و ۹۰ درجه مشاهده شده‌اند. گروه سرم نیز الگوی گسیختگی مرکب می‌باشد که برای ماسه‌سنگ‌های تیپ ۱ و ۲ در زاویه  $\beta$  برابر ۹۰ درجه مشاهده شده است (شکل ۲-۳). بر اساس مشاهدات، شکستگی‌های موازی با، لامیناسیون (PL) با دو مکانیزم شکستگی کششی - شکافتگی (TSPL) در امتداد، لامیناسیون و شکستگی برپی در امتداد، لامیناسیون (SHPL) در اتفاق می‌افتد. الگوی گسیختگی کششی - شکافتگی در امتداد، لامیناسیون در زاویه  $\beta$  معادل با صفر درجه مشاهده شده است، در حالی که الگوی دوم برای زوایای  $\beta$  بین صفر و ۳۰ درجه غالب است. در نمونه‌های ماسه‌سنگ تیپ ۱ و ۳، الگوی گسیختگی غالب در زوایای ۴۵، ۳۰، ۶۰ و ۷۵ درجه به صورت یک شکستگی کششی محوری در امتداد بارگذاری است که سطوح، لامیناسیون را قطع می‌کند (ATAL). بر اساس مشاهدات صورت گرفته، مشخص شد که در ماسه‌سنگ‌های تیپ ۱ و ۳، در زاویه ۹۰ درجه، الگوی گسیختگی به صورت ترکیبی از شکستگی کششی در امتداد بارگذاری و شکستگی برپی در امتداد، لامیناسیون اتفاق می‌افتد (شکل ۲).

جدول ۲. طبقه بندی الگوهای گسیختگی مشاهده شده در آزمایش برزیلی برای ماسه‌سنگ‌های مورد مطالعه

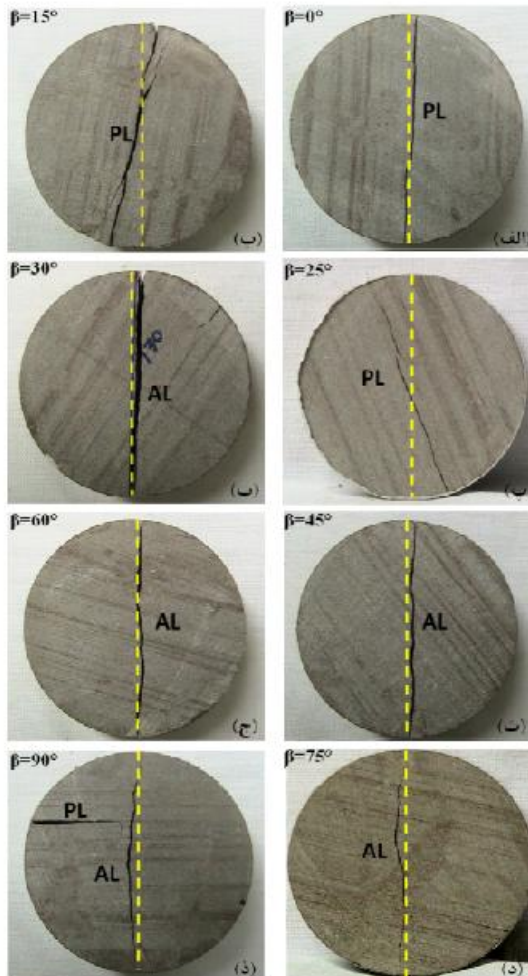
نوع اصلی گسیختگی	زیر گروه	تصویر گسیختگی	$\beta$ (°)
موازی با، لامیناسیون (PL)	کشش - شکافتگی موازی با، لامیناسیون (TSPL)		صفر
	برش در امتداد، لامیناسیون (SHPL)		$\beta < 30^\circ$ صفر
در عرض، لامیناسیون (AL)	کشش محوری در عرض، لامیناسیون (ATAL)		$30^\circ, 45^\circ, 60^\circ, 75^\circ$
ترکیبی از PL و AL	ترکیبی از کشش محوری در عرض، لامیناسیون و برش به موازات، لامیناسیون (ATAL and SHPL)		( فقط ماسه‌سنگ تیپ ۲ ) $90^\circ$ ( ماسه‌سنگ تیپ ۱ و ۳ ) $90^\circ$

نشان می‌دهد که حداقل شاخص بار نقطه‌ای برای تمامی نمونه‌ها در زاویه ۹۰ درجه (جهت بارگذاری عمود بر، لامیناسیون) و حداقل آن در زاویه صفر درجه (موازی با، لامیناسیون) و حداقل آن در زاویه صفر درجه (موازی با،

۳-۳. الگوهای گسیختگی در آزمایش بار نقطه‌ای آزمایش بار نقطه‌ای محوری، بر روی نمونه‌هایی با نسبت طول به قطر بین  $0/30$  تا ۱ و در زوایای ناهمسانگردی صفر،  $30^\circ, 45^\circ, 60^\circ$  و  $90^\circ$  درجه انجام شده است (شکل ۴). نتایج

آزمایش بار نقطه ای در جدول ۳ نشان داده شده است.

لامیناسیون) حاصل شده است. طبقه بندی پیشنهاد شده برای

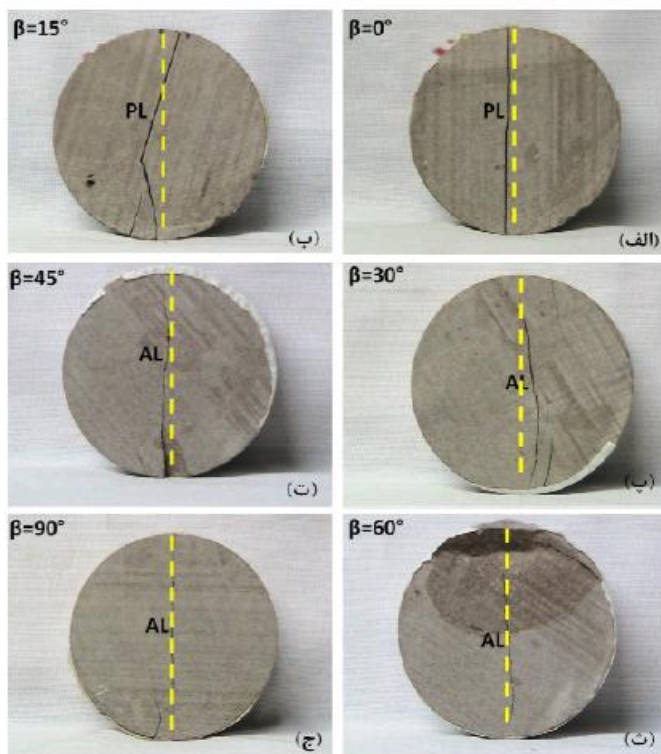


شکل ۲. الگوهای گسیختگی مشاهده شده برای ماسه سنگ های تیپ ۱ در آزمایش برزیلی

(PL: Parallel to the lamination, AL: Across the lamination)

تقسیم بندی می شود برای هر سه تیپ ماسه سنگ مشاهده شده است که در زاویه صفر درجه، الگوی گسیختگی غالب از نوع کششی - شکفتگی به موازات، لامیناسیون (TSPL) است در حالی که برای زاویه ۳۰ و ۴۵ درجه، گسیختگی برشی در امتداد، لامیناسیون (SHPL) اتفاق می افتد. در این حالت، گسیختگی عمدتاً به صورت یک سطح منفرد و گاهماً نیز به صورت دو سطح شکستگی موازی با هم در امتداد لامینه ها اتفاق می افتد.

بر این اساس، ملاحظه می گردد که الگوهای گسیختگی در آزمایش بار نقطه ای به دو گروه اصلی موازی با، لامیناسیون (PL) و در عرض، لامیناسیون (AL) تقسیم بندی می شوند. الگوی گسیختگی موازی با، لامیناسیون در زوایای کمتر و مساوی ۴۵ درجه مشاهده شده است. در حالی که برای زوایای بزرگ تر از ۴۵ درجه، الگوی گسیختگی غالب از نوع در عرض، لامیناسیون است. همچنین الگوی گسیختگی موازی با لامیناسیون خود به دو الگوی شکستگی کششی - شکافتگی به موازات لامینه ها و شکستگی برشی در امتداد، لامیناسیون



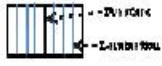
شکل ۳. الگوهای گسیختگی مشاهده شده برای ماسهسنگ‌های تیپ ۲ در زوایای مختلف  $\beta$

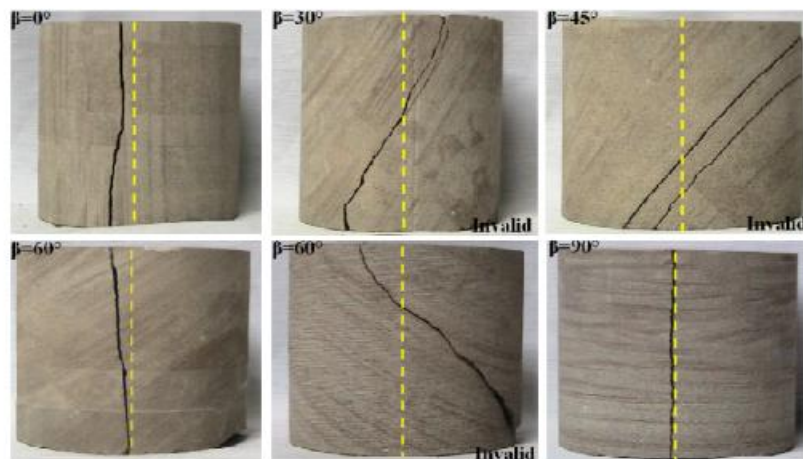
(PL: Parallel to the lamination, AL: Across the lamination)

قطع می‌کند. علاوه‌غم اینکه الگوهای گسیختگی مشاهده شده برای ماسهسنگ‌های نوع اول و دوم مشابه است، اما برای ماسهسنگ‌های تیپ ۳ تفاوت‌هایی مشاهده شده است (شکل ۵). همان طور که در این شکل نشان داده شده است، مرز انتقال گسیختگی غالب از حالت موازی با لامیناسیون به حالت در عرض، لامیناسیون بین ۳۰ و ۴۵ درجه مشاهده شده است. به عبارتی دیگر، برای زوایای مساوی و کوچکتر از ۳۰ درجه، فرایند گسیختگی توسط لامینه‌ها کنترل می‌شود، در حال که برای زوایای مساوی و بزرگ‌تر از ۴۵ درجه، فرایند گسیختگی نمونه، لامینه‌ها را قطع می‌کند. به نظر می‌رسد که ضخامت بیش‌تر، لامیناسیون‌ها نسبت به ماسهسنگ‌های تیپ ۱ و ۲ و در نتیجه شدت ناهمسانگردی کم‌تر باعث شده است که تأثیر، لامیناسیون بر روی رفتار ماسهسنگ‌های تیپ ۳ کم‌تر از دو گروه دیگر باشد.

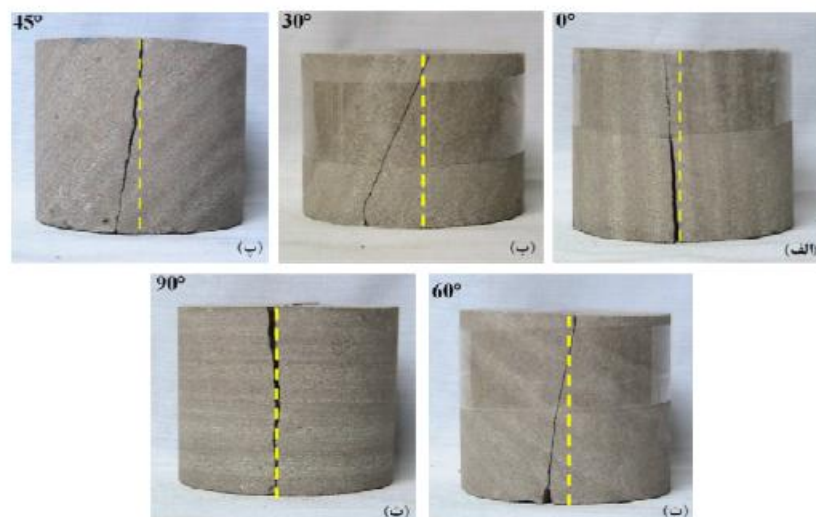
برای زوایای  $\beta$  معادل با ۶۰ و ۹۰ درجه، مشاهده شده است که الگوی گسیختگی غالب به صورت یک شکستگی کششی محوری منفرد در راستای بارگذاری (ATAL) اتفاق می‌افتد. در این حالت، سطح گسیختگی سطوح، لامیناسیون را قطع می‌کند. البته در مواردی نیز مشاهده شده است که الگوی گسیختگی غالب در زاویه ۶۰ درجه به صورت برشی و در امتداد، لامیناسیون اتفاق می‌افتد. با توجه به توضیحاتی که ارائه شد، می‌توان نتیجه گرفت که زاویه انتقال نوع گسیختگی غالب، جائی که نوع گسیختگی از حالت موازی، لامیناسیون (PL) به حالت در عرض، لامیناسیون (AL) تبدیل می‌شود، بین ۴۵ و ۶۰ درجه می‌باشد. به عبارتی دیگر برای زوایای کم‌تر و مساوی ۴۵ درجه، فرایند گسیختگی نمونه به موازات، لامیناسیون اتفاق می‌افتد. درحالی که برای زوایای مساوی و بزرگ‌تر از ۶۰ درجه، فرایند گسیختگی لامینه‌ها را

جدول ۳. طبقه بندی الگوهای گسیختگی مشاهده شده در آزمایش بار نقطه ای

نوع اصلی گسیختگی	تصویر گسیختگی	$\beta$ (°)
کشش - شکافتگی به موازات، لامیناسیون (TS PL)		صفر درجه
برش در امتداد، لامیناسیون (S HPL)		۴۰ و ۴۵ (ماسه سنگ تیپ ۱ و ۲)
کشش در عرض، لامیناسیون (AL)		۴۵ (ماسه سنگ تیپ ۳)
		۶۰
		۶۰



شکل ۴. الگوهای گسیختگی مشاهده شده در آزمایش بار نقطه ای برای ماسه سنگ های تیپ ۱ در زوایای مختلف  $\beta$   
(خط چین زرد جهت بارگذاری را نشان می دهد)



شکل ۵: الگوهای گسیختگی مشاهده شده در آزمایش بار نقطه ای برای نمرنده های ماسه سنگ تیپ ۳

۴۵، ۶۰ و ۷۵ درجه اتفاق می‌افتد. گروه سوم نیز الگوی گسیختگی مرکب می‌باشد که در زاویه  $\beta$  برابر ۹۰ درجه مشاهده شده است. همچنین الگوهای گسیختگی در آزمایش بار نقطه‌ای به دو گروه اصلی موازی با، لامیناسیون و در عرض، لامیناسیون تقسیم‌بندی می‌شوند. الگوی گسیختگی موازی با، لامیناسیون در زوایای کمتر و مساوی ۴۵ درجه مشاهده شده است. در حالی که برای زوایای بزرگ‌تر از ۴۵ درجه، الگوی گسیختگی غالب از نوع در عرض، لامیناسیون است. بر اساس نتایج، مرز انتقال نوع گسیختگی غالب از حالت موازی با، لامیناسیون به حالت در عرض، لامیناسیون، برای آزمایش‌های برزیلی بین ۲۵ و ۳۰ درجه و همچنین برای بار نقطه‌ای بین ۴۵ و ۶۰ درجه مشاهده شده است.

#### ۴. نتیجه گیری

در این پژوهش، اثر حضور، لامیناسیون بر روی الگوهای گسیختگی ماسه سنگ‌های لامینه‌دار سازند قرمز بالایی در جنوب غرب قم مورد مطالعه قرار گرفته است. بدین منظور یکسری آزمایش‌های برزیلی و بار نقطه‌ای بر روی نمونه‌های تهیه شده، انجام شده است. الگوهای گسیختگی مشاهده شده در آزمایش برزیلی به طور کلی به سه گروه اصلی طبقه‌بندی می‌شوند. گروه اول، گسیختگی‌هایی هستند که به موازات، لامیناسیون اتفاق می‌افتد. این نوع گسیختگی عمدهاً برای زوایای  $\beta$  کمتر از ۳۰ درجه مشاهده شده است. گروه دوم، گسیختگی‌هایی می‌باشند که سطوح، لامیناسیون را قطع می‌کنند و به عبارتی مستقل از، لامیناسیون هستند که در زوایای

#### منابع

- Al-Harthi, A.A., 1998. Effect of planar structures on the anisotropy of Ranyah sandstone Saudi Arabia. *Engineering Geology*, 50: 49-57.
- Barla, G., 1974. Rock anisotropy: Theory and laboratory testing, *Rock Mechanics*, ed. L. Müller. Springer-Verlag, New York, pp 132-169.
- Chen, C.S., Pan, E., Amadei, B., 1998. Determination strength of anisotropic Brazilian tests of Deformability and Tensile Rock Using Brazilian tests. *International Journal of Rock Mechanics and Mining Sciences*, 35 (I): 43-61.
- Debecker, B., Vervoort, A., 2009. Experimental observation of fracture patterns in layered Slate. *International Journal Fractal*, 159:51-62.
- Folk, R.L., 1974. Petrology of sedimentary rocks. Hemphill, Austin
- Hobbs, D.W., 1964. The strength and stress-strain characteristics of coal in triaxial compression. *Journal of Geology*, 72: 214-231.
- ISRM 1978. Commission on standardization of laboratory and field tests. Suggested methods for determining tensile strength of rock materials. *International Journal of Rock Mechanics and Mining Sciences, Geomechanics Abstract*, 15:99–103.
- McLamore, R., Gray, K.E., 1967. The mechanical behavior of transversely isotropic sedimentary rocks. *Transition in American Society of Mechanical Engineering Series B*, 62-76.
- Ramamurthy, T., 1993. Strength and modulus responses of transversely isotropic rocks. in: Hudson, J.A. (Ed.), *Compressive Rock Engineering*, vol. 1. Oxford, Pergamon, pp. 313-329.
- Tavallali, A., Vervoort, A., 2010. Effect of layer orientation on the failure of layered sandstone under Brazilian test conditions. *International Journal of Rock Mechanics and Mining Sciences*, 47: 313–322.